

§ 7.5 连续相位调制

在数字角度调制中，如果相位变化连续，有利于功率谱密度带外衰减加快，而且使已调信号经带限滤波后包络变化减小。在本节中我们讨论连续相位FSK（CPFSK）调制，最小偏移调制（MSK），高斯最小偏移调制（GMSK）以及一般的多h连续相位调制等。

7.5.1 连续相位FSK调制（CPFSK）

通常用某种数字PAM信号去控制压控振荡器，从而产生相位连续的调频信号。设M进制的PAM基带信号为

$$v(t) = \sum_n a_n g_T(t - nT)$$

$a_n \in \{\pm 1, \pm 3, \dots, \pm(M-1)\}$ 是信息符号， $g_T(t)$ 是幅度为 $1/(2T)$ ，宽度为 T 的矩形脉冲，于是连续相位FSK信号可写成：

$$s(t) = A \cos \left[2\pi f_c t + 4\pi f_d T \int_{-\infty}^t v(\tau) d\tau + \varphi_0 \right]$$

f_c 是载波频率， f_d 是峰值频偏， φ_0 是任何初相。

用 $\theta(t; a)$ 表示信号 $s(t)$ 的相位中扣除载频相位后的附加相位，

$$\theta(t; a) = 4\pi T f_d \int_{-\infty}^t v(t) dt$$

在时间区间 $[kT, (k+1)T]$ 中，附加相位为，

$$\begin{aligned} \theta(t; a) &= 2\pi f_d T \sum_{i=-\infty}^{k-1} a_i + 2\pi(t - kT) f_d a_k \\ &= \theta_k + 2\pi h a_k q(t - kT) \end{aligned}$$

调制
指数

其中

$$h = 2f_d T$$

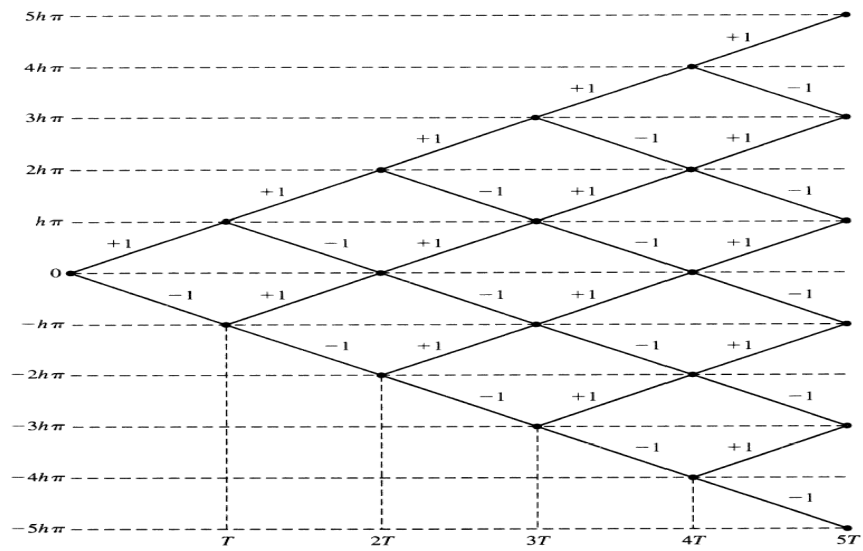
累计
相位

$$\theta_k = \pi h \sum_{i=-\infty}^{k-1} a_i$$

相位成形函数

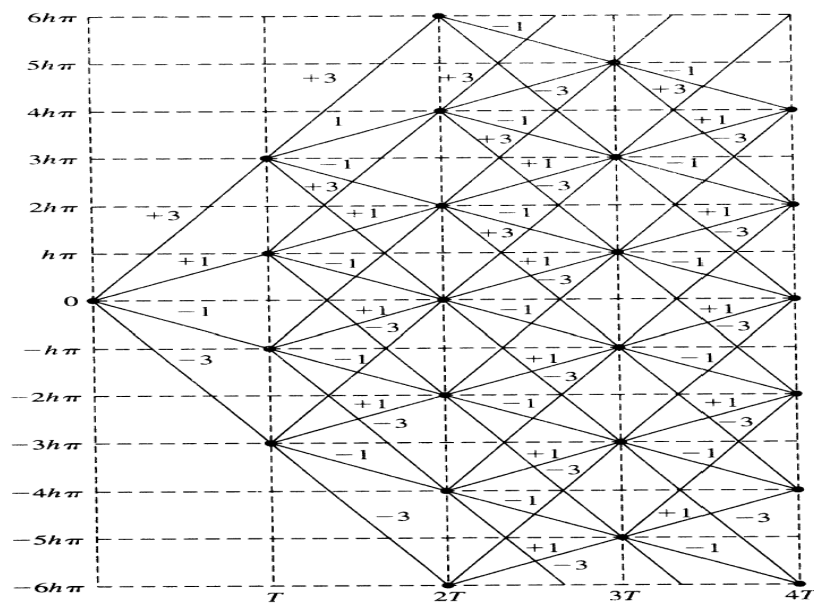
$$q(t) = \int_{-\infty}^t g_T(\eta) d\eta = \begin{cases} 0 & t \leq 0 \\ t/(2T) & 0 \leq t \leq T \\ 1/2 & t \geq T \end{cases}$$

对于二进制数据 $a = \pm 1$ 所有可能的附加相位轨线



3/28

对于四进制数据 $a = \pm 1, \pm 3$ 所有可能的附加相位轨线



4/28

7.5.2 最小偏移键控 (MSK) 调制 $h = 2f_d T = 0.5 \longrightarrow f_d = \frac{1}{4T}$

MSK是 $h=0.5$ 的二进制CPFSK，它的附加相位为：

$$\begin{aligned}\theta(t; a) &= \frac{\pi}{2} \sum_{i=-\infty}^{k-1} a_i + \pi a_k q(t - kT) \\ &= \frac{\pi t}{2T} a_k + \varphi_k\end{aligned}, \quad t \in [kT, (k+1)T]$$

$$\varphi_k = \frac{\pi}{2} \sum_{i=-\infty}^{k-1} a_i - \frac{k\pi}{2} a_k$$

φ_k 满足递推关系： $\varphi_k = \varphi_{k-1} + \frac{\pi}{2} k(a_{k-1} - a_k)$

在 $t \in [kT, (k+1)T]$ ，MSK信号可写成

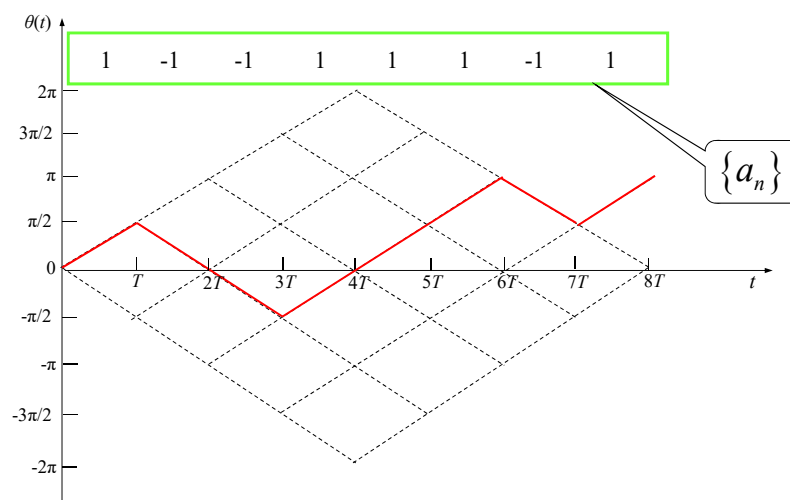
$$s(t) = A \cos(2\pi f_c t + \frac{\pi t}{2T} a_k + \varphi_k)$$

$$a_k = 1 \longrightarrow f_1 = f_c + \frac{1}{4T}, \quad a_k = -1 \longrightarrow f_0 = f_c - \frac{1}{4T}$$

$$\Delta f = f_1 - f_0 = \frac{1}{2T} \quad \text{二个正弦信号正交的最小频率间隔 (MSK)}。$$

5/28

对于相干解调，可以假设 $\varphi_0 = 0$ ，所以 $\varphi_k = 0, \pi \pmod{2\pi}$ ，
附加相位 $\theta(t; a)$ 在区间 $[kT, (k+1)T]$ 上是一条斜率为 $a_k \pi / 2T$ 、截距为 φ_k 的直线段。在一个符号时间中 $\theta(t; a)$ 变化 $\pm \pi/2$ 。



6/28

总结以上论述，MSK信号具有如下特点：

- 1、MSK信号是恒包络信号；
- 2、相对于载波 f_c 的频偏为 $\pm 1/4T$ ，调制指数为 $h = 0.5$ ；
- 3、在任何符号间隔区间中，二个码元信号正交；
- 4、附加相位 $\theta(t)$ 在一个码元时间中线性变化，变化量为 $\pm \pi/2$ ；
- 5、MSK信号的相位在数据符号转换时刻连续；

7/28

MSK信号实现方法：

MSK信号写成正交调制形式

$$\begin{aligned} s(t) &= A \cos[2\pi f_c t + \theta(t; \mathbf{a})] \\ &= A \cos \theta(t; \mathbf{a}) \cos 2\pi f_c t - A \sin \theta(t; \mathbf{a}) \sin 2\pi f_c t \end{aligned}$$

其中 $\cos \theta(t; \mathbf{a}) = \cos\left(\frac{\pi a_k}{2T} t + \varphi_k\right)$

$$\begin{aligned} &= \cos \frac{\pi a_k}{2T} t \cdot \cos \varphi_k - \sin \frac{\pi a_k}{2T} t \cdot \sin \varphi_k \\ &= \cos \varphi_k \cdot \cos \frac{\pi a_k t}{2T} = \cos \varphi_k \cdot \cos \frac{\pi t}{2T}, \quad t \in [kT, (k+1)T] \end{aligned}$$

$$\begin{aligned} -\sin \theta(t; \mathbf{a}) &= -\sin\left(\frac{\pi a_k}{2T} t + \varphi_k\right) \\ &= -\sin \frac{\pi a_k}{2T} t \cdot \cos \varphi_k - \cos \frac{\pi a_k}{2T} t \cdot \sin \varphi_k \\ &= -a_k \cos \varphi_k \cdot \sin \frac{\pi t}{2T}, \quad t \in [kT, (k+1)T] \end{aligned}$$

8/28

所以在 $t \in [kT, (k+1)T]$

$$s(t) = I_k \cdot A \cos \frac{\pi t}{2T} \cdot \cos 2\pi f_c t - Q_k \cdot A \sin \frac{\pi t}{2T} \cdot \sin 2\pi f_c t$$

$$I_k = \cos \varphi_k, \quad Q_k = a_k \cos \varphi_k$$

目的要证明: $I_{2k} = I_{2k-1}, \quad Q_{2k+1} = Q_{2k}$

表明同相数据 $\{I_k\}$ 和正交数据 $\{Q_k\}$ 都是每隔时间 $2T$ 才改变一次, 而且二路数据改变的时刻交错相隔 T 。

数据序列 $\{a_k\}$ 进行差分编码, 转换成 $\{c_k\}$

$$c_k = c_{k-1} \cdot a_k \quad \text{or} \quad a_k = c_{k-1} \cdot c_k$$

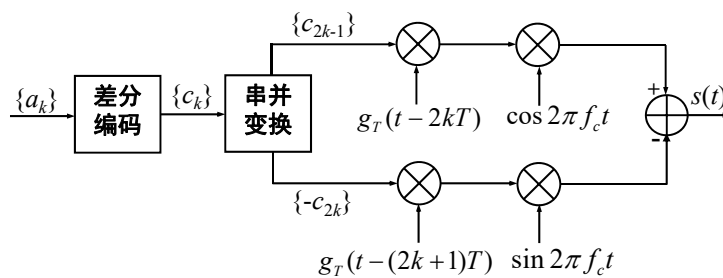
可以证明 $I_{2l} = I_{2l-1} = c_{2l-1}, \quad Q_{2l+1} = Q_{2l} = c_{2l}$

$$s(t) = \sum_l c_{2l-1} g_T[t - 2lT] \cos 2\pi f_c t - c_{2l} g_T[t - (2l+1)T] \sin 2\pi f_c t$$

$$g_T(t) = \begin{cases} A \cos \frac{\pi t}{2T} & -T \leq t \leq T \\ 0 & \text{其它} \end{cases}$$

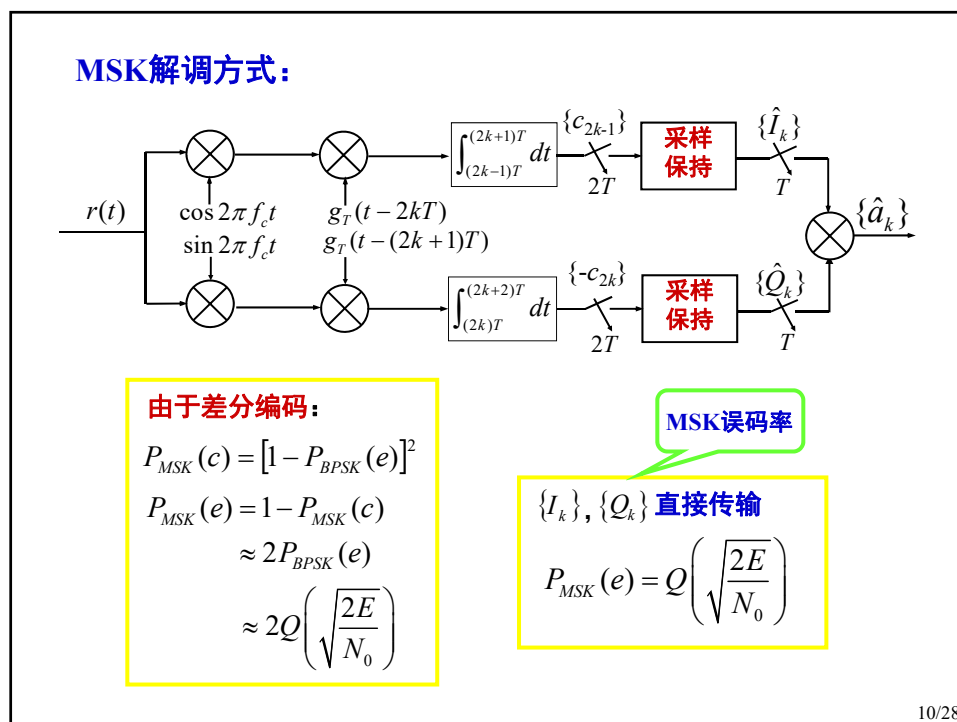
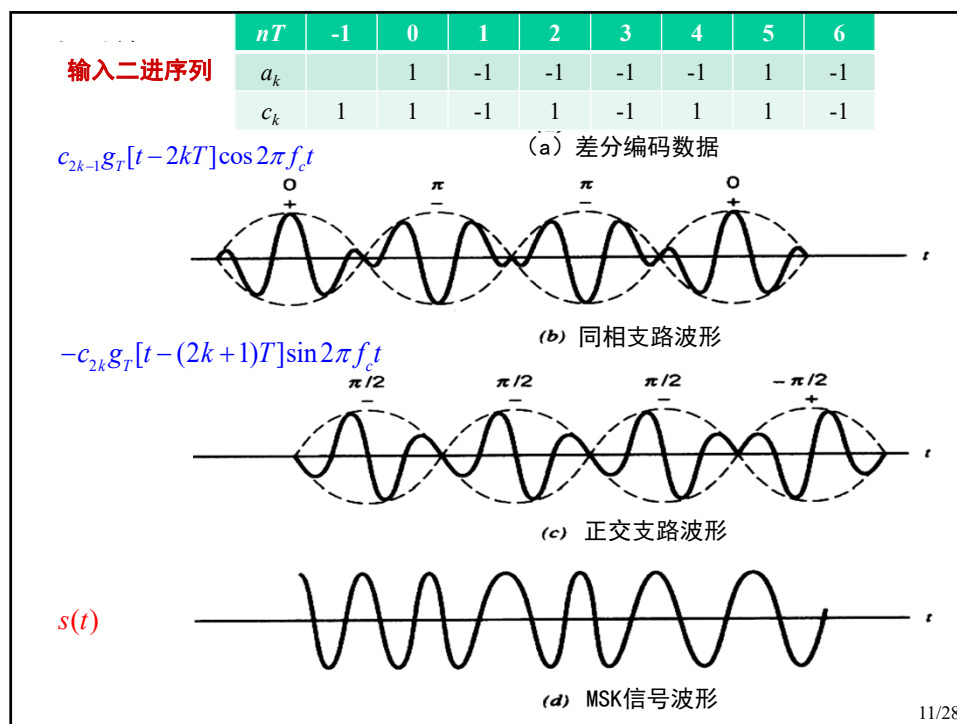
9/28

MSK的一种实现方式



与OQPSK信号几乎相同, 只是用余弦脉冲代替矩形脉冲。

10/28



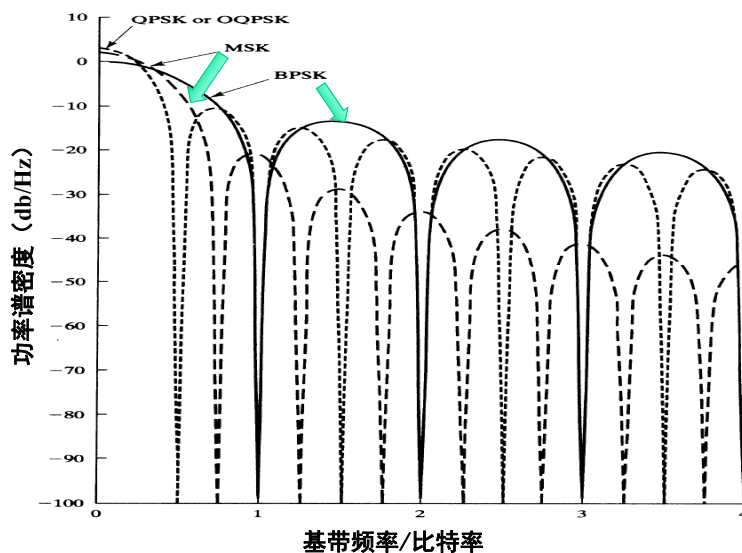
MSK信号的功率谱:

与QPSK一样，只是在MSK信号中基带脉冲是余弦脉冲，不是矩形脉冲。

$$g_T(t) = \begin{cases} A \cos \frac{\pi t}{2T} & -T \leq t \leq T \\ 0 & \text{其它} \end{cases} \longleftrightarrow G_T(f) = \frac{4TA}{\pi} \cdot \frac{\cos 2\pi fT}{16T^2 f^2 - 1}$$

$$P_{MSK}(f) = \frac{2}{T} \left\{ |G_T(f + f_c)|^2 + |G_T(f - f_c)|^2 \right\}$$
$$= \frac{32TA^2}{\pi^2} \left\{ \left| \frac{\cos 2\pi(f - f_c)t}{16T^2(f - f_c)^2 - 1} \right|^2 + \left| \frac{\cos 2\pi(f + f_c)t}{16T^2(f + f_c)^2 - 1} \right|^2 \right\}$$

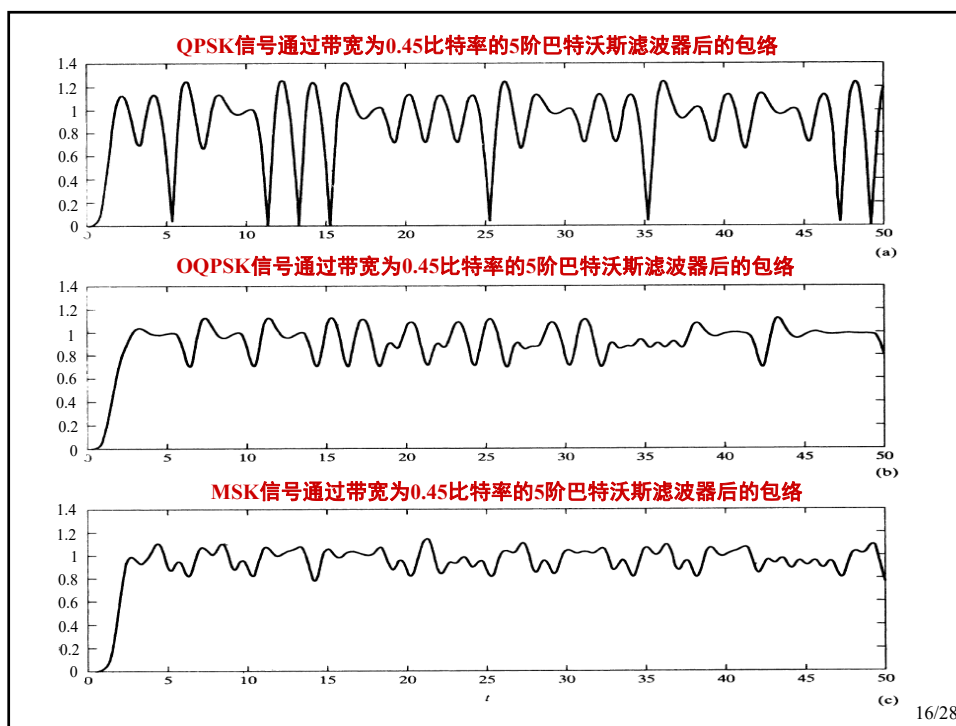
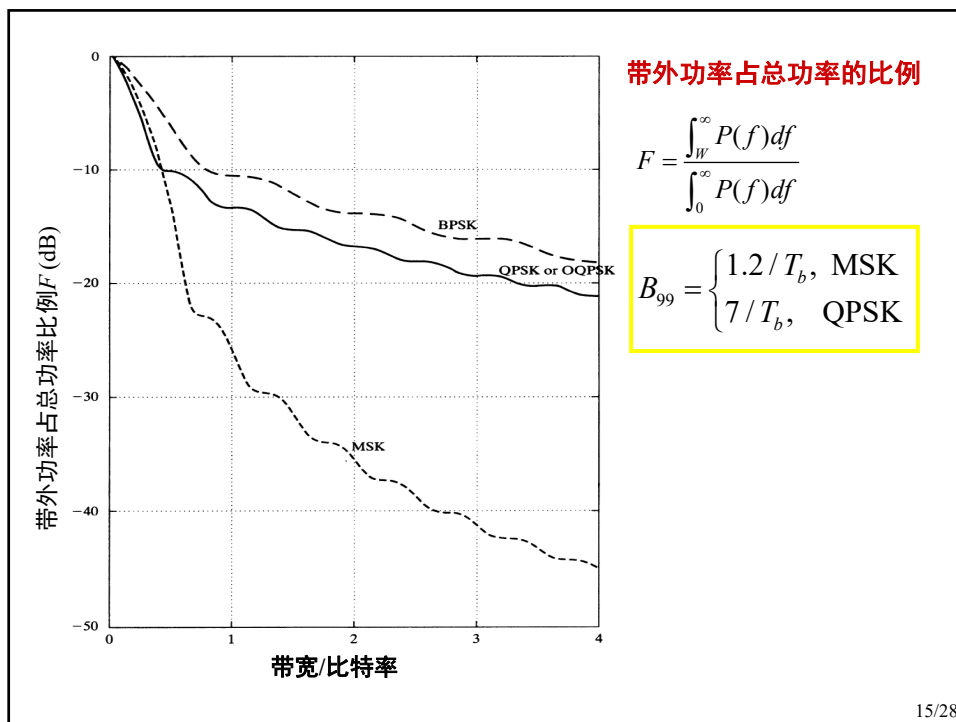
13/28



MSK信号的主瓣宽度是QPSK的1.5倍，是BPSK的3/4，

它的旁瓣衰减远快于QPSK和BPSK。

14/28



7.5.3 高斯最小偏移键控 (GMSK)

修正MSK调制方式, 使得附加相位不仅连续, 而且光滑 (即高次可微), 这样可以使已调信号的功率谱更为紧凑。可以证明如果附加相位 $\theta(t; a)$ 是 t 的 m 次可微函数, 则它的功率谱密度随频率按 $2(m+1)$ 次幂反比下降。

二进制矩形脉冲幅度调制信号去调制正弦波的频率, 当调制指数等于 $h = 0.5$ 时, 就得到**MSK信号**。

$$s(t) = A \cos(2\pi f_c t + \pi \int_{-\infty}^t v(\tau) d\tau)$$

$$v(t) = \sum a_n g_T(t - nT)$$

$$g_T(t) = \begin{cases} \frac{1}{2T} & 0 \leq t \leq T \\ 0 & \text{其它} \end{cases}, \quad a_n = \pm 1$$

先把矩形脉冲序列 $v(t)$ 通过一个低通滤波器进行预滤波, 用预滤波输出去控制压控振荡器进行调频, 得到**GMSK信号**。

17/28

一般要求预滤波器满足如下条件:

- 1、预滤波器应有窄的通带和陡峭的过渡带;
- 2、预滤波器的脉冲响应有相对较低的过冲;
- 3、要求预滤波器输出的频率成型函数的积分为 $1/2$,
这将使得每个数据码元对于相位的总影响为 $\pi/2$;

合适的低通滤波器是高斯脉冲响应滤波器, 简称高斯滤波器:

$$h_G(t) = \frac{\sqrt{\pi}}{\alpha} e^{-\pi^2 t^2 / \alpha^2} \longleftrightarrow H_G(f) = e^{-\alpha^2 f^2}$$

参数 α 与 $H_G(f)$ 的3dB带宽 B 的关系为: $\alpha = \frac{\sqrt{\ln 2}}{\sqrt{2}B} \approx \frac{0.5887}{B}$

通过高斯滤波器后输出为,

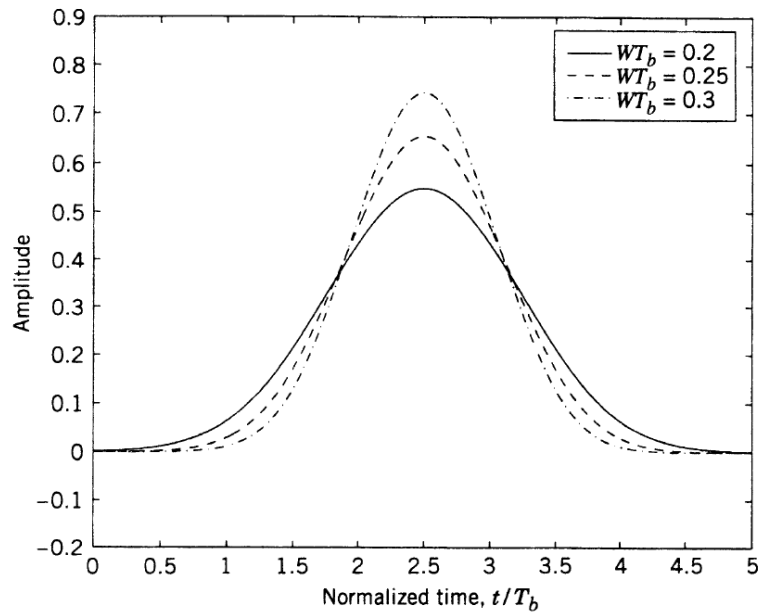
$$w(t) = \sum_k a_k \cdot g(t - kT)$$

$$g(t) = g_T(t) \otimes h_G(t) = \frac{1}{2T} \left\{ Q\left(\frac{2\pi B(t-T)}{\sqrt{\ln 2}}\right) - Q\left(\frac{2\pi Bt}{\sqrt{\ln 2}}\right) \right\}$$

用高斯滤波后的基带信号 $w(t)$ 去进行 $h = 0.5$ 调频, 称为**GMSK**。

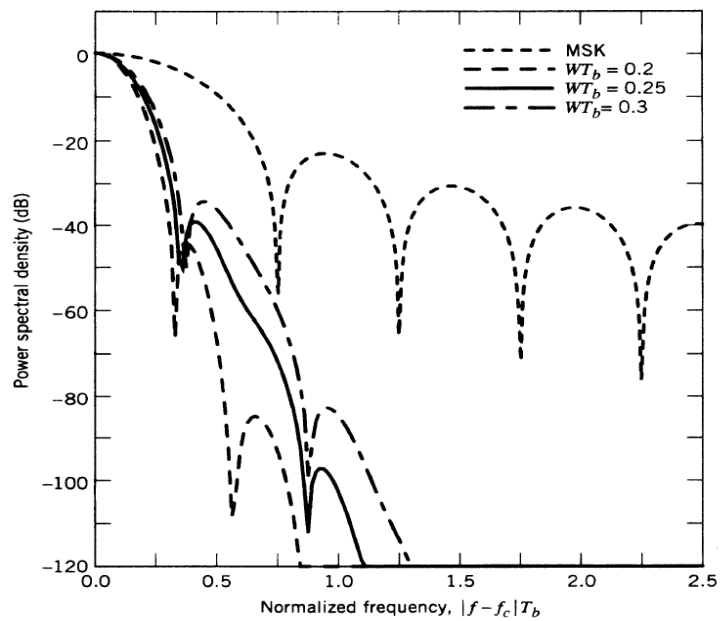
18/28

不同 BT 值时GMSK的频率成型脉冲



19/28

几种不同 BT 值的GMSK信号和MSK信号的功率谱密度



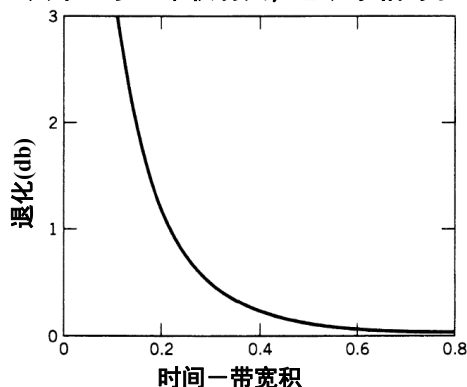
20/28

GMSK解调的误码率：

截断后的频率成型脉冲的宽度为 $5T$ ，所以GMSK信号中存在码间干扰，而且当 BT 乘积减小时引入的码间干扰增大。

$$P_{GMSK}(e) = Q\left(\sqrt{\frac{\gamma E_b}{N_0}}\right)$$

其中 γ 与 BT 乘积有关，它表示相对于MSK的性能退化。



退化 $10\log_{10}(\gamma/2)$ 与 BT 的关系

$BT=\infty$ (MSK)，性能退化为0dB

$BT=0.3$ ，性能退化为0.46dB

21/28

7.5.4 多- h 连续相位调制

多- h 连续相位调制信号的一般形式为

$$s(t; \alpha) = A \cos(2\pi f_c t + \theta(t; \alpha) + \varphi_0)$$

在相干解调中，不失一般性可认为 $\varphi_0 = 0$ 。附加相位为

$$\theta(t; \alpha) = 2\pi \int_{-\infty}^t \sum_{i=-\infty}^{\infty} h_i a_i g(\tau - iT) d\tau, \quad -\infty < t < \infty$$

其中 $a_i \in \{\pm 1, \pm 3, \dots, \pm(M-1)\}$ ， $\{h_i\}$ 是一组周期调制指数，即 $h_{i+k} = h_i$ ，

$g(t)$ 是频率脉冲成型函数，一般它在 $[0, LT]$ 外为零，在 $[0, LT]$ 内不为零，其中 L 为正整数。当 $L=1$ 时称为全响应， $L>1$ 时称为部分响应。

相位脉冲成型函数：

$$q(t) = \int_{-\infty}^t g(\tau) d\tau, \quad -\infty < t < \infty$$

要求 $q(LT) = 1/2$

22/28

几种常用的连续相位调制信号的频率成型函数

LREC (矩形)	$g(t) = \begin{cases} \frac{1}{2LT} & 0 \leq t \leq LT \\ 0 & \text{其它} \end{cases}$
LRC (升余弦)	$g(t) = \begin{cases} \frac{1}{2LT} (1 - \cos \frac{2\pi t}{LT}) & 0 \leq t \leq LT \\ 0 & \text{其它} \end{cases}$
GMSK	$g(t) = \left\{ Q \left[\frac{2\pi B(t - \frac{T}{2})}{\sqrt{\ln 2}} \right] - Q \left[\frac{2\pi B(t + \frac{T}{2})}{\sqrt{\ln 2}} \right] \right\}$

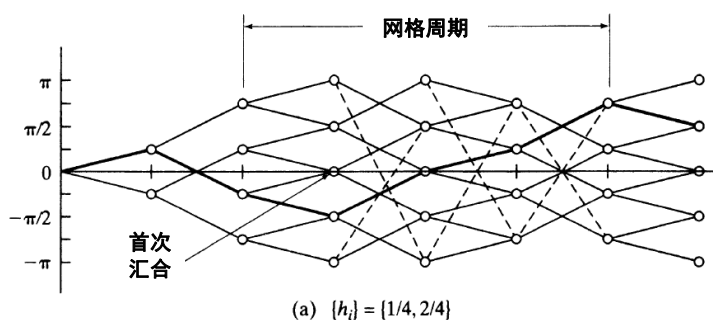
23/28

全响应 ($L=1$)，频率成型函数 $g(t)$ 为矩形脉冲。这时多- h 连续相位调制信号在区间 $[kT, (k+1)T]$ 中表示为

$$s(t; \alpha) = A \cos \left[2\pi(f_c t + \frac{1}{2} a_k h_k (t/T - k)) + \varphi_k \right]$$

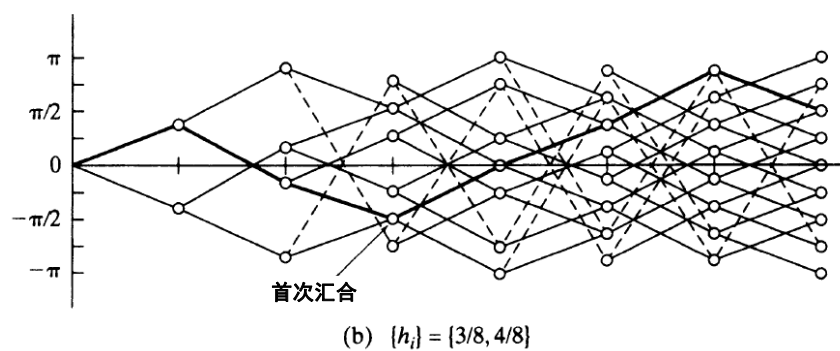
$$\varphi_k = \pi \sum_{i=-\infty}^{k-1} a_i h_i$$

[例7.5.1] a. 考虑 h 序列 $\{h_1, h_2\} = \{1/4, 2/4\}$ 情况。与数据 1, -1, -1, 1, 1, -1 对应的相位轨线：



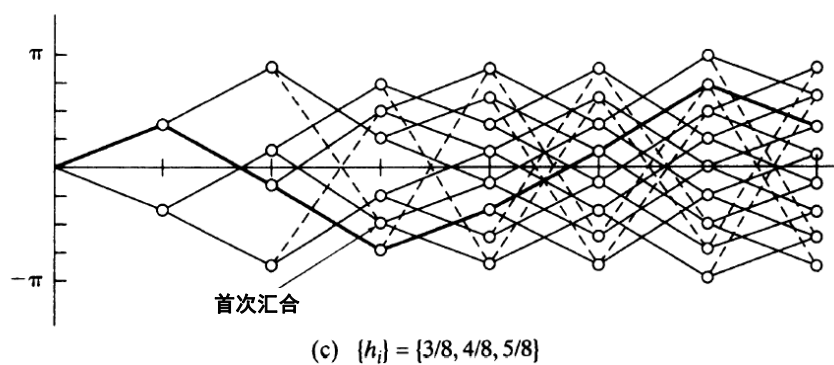
24/28

b. 考虑 h 序列 $\{h_1, h_2\} = \{3/8, 4/8\}$



25/28

c. 考虑 h 序列 $\{h_1, h_2, h_3\} = \{3/8, 4/8, 5/8\}$



26/28

多-h连续相位调制信号的最佳解调要利用Viterbi译码算法：

设发送信号： $s(t; \alpha) = A \cos(2\pi f_c t + \theta(t; \alpha))$

接收到信号： $r(t) = s(t; \alpha) + n(t)$

最大似然接收机（Viterbi算法）：

$$\hat{\alpha} = \arg \min_{\alpha'} \lim_{n \rightarrow \infty} \int_0^{nT} [r(t) - s(t; \theta(t; \alpha'))]^2 dt$$

这等价于在相位网格上寻找一条与接收信号距离最短的轨线，是一个最短路径问题。 Viterbi算法的性能决定于自由距离

$$D_{\min}^2 = \lim_{n \rightarrow \infty} \min_{i \neq j} \int_0^{nT} [s(t; \alpha^{(i)}) - s(t; \alpha^{(j)})]^2 dt$$

采用 $L>1$ 的部分响应方式，以及采用多-h方式，都是由于部分响应方式和多-h方式能够增大相位状态数，使相位轨线变化更为复杂，有利于自由距离的增加，也有利于相位轨线更为平滑。

27/28

习 题

7-26

28/28